

## 전자빔 코팅 및 플라즈마 용사에 의한 안정화지르코니아/CoNiCrAlY 계면의 산화거동

최원섭 · 김영도 · 전형탁 · 김현태\* · 윤국한\* · 홍경태\* · 박종구\* · 박원식\*\*

한양대학교 재료공학부

\*한국과학기술연구원

\*\*한국전력연구원

### Oxidation Behavior at the Interface between E-beam Coated $ZrO_2$ -7wt.% $Y_2O_3$ and Plasma Sprayed CoNiCrAlY

Wonseop Choi, Young Do Kim, Hyeongtag Jeon,

Hyontae Kim\*, Kookhan Yoon\*, Kyungtae Hong\*, Jong-Ku Park\* and Weonsik Park\*\*

Division of Materials Science and Engineering, Hanyang Univ., Seoul 133-791

\*Korea Institute of Science and Technology, Seoul 136-791

\*\*Korea Electric Power Research Institute

(1998년 1월 19일 받음, 1998년 4월 10일 최종수정본 받음)

**초 록** 열차폐코팅층의 박리는 세라믹/금속접합층 계면에서 취성이 큰 스피넬의 생성, 금속과 세라믹의 열팽창계수의 차이, 세라믹층의 상변태, 코팅층의 잔류응력에 기인한다. 본 연구에서는 인코넬 713C에 전자빔 코팅 및 플라즈마 용사법으로 코팅된 안정화지르코니아/CoNiCrAlY 계면의 산화거동을 조사하기 위하여 900°C에서 등온산화시험동안 생성되는 산화막층과 스피넬 생성 거동을 관찰, 분석하였다. 코팅 직후 코팅층에 고르게 분포하고 있는 Co,Ni,Cr,Al,Zr의 원소들이 산화시간에 따라 확산하여 산화반응을 하였다. 초기 20시간의 산화시간에 안정화지르코니아/CoNiCrAlY 계면에 주요 성분이  $\alpha$ - $Al_2O_3$ 인 산화막층이 생성되었고, CoNiCrAlY 층에는 Al의 외부확산으로 인한 Al 결핍지역이 생성되었다. 산화시험동안  $\alpha$ - $Al_2O_3$ 층이 임계두께까지 성장한 후에 산화막층의 성장속도는 감소하였고, 안정화지르코니아/산화막층 계면에 스피넬,  $Cr_2O_3$ ,  $CO_2CrO_4$ 의 형성으로 인한 크랙이 관찰되었다.

**Abstract** The spallation of a thermal barrier coating layer depends on the formation of brittle spinels, thermal expansion mismatch between ceramic and metal, the phase transformation of a ceramic layer and residual stress of coating layer. In this work, the formation mechanism of oxide scale formed by oxidation treatment at 900°C was investigated in order to verify oxidation behavior at the interface between E-beam coated  $ZrO_2$ -7wt.% $Y_2O_3$  and plasma sprayed CoNiCrAlY. Some elements distributed in the bond coating layer were selectively oxidized after oxidation. At the initial time of oxidation, Al-depletion zone and  $\alpha$ - $Al_2O_3$  were formed at the bond coating layer by the Al-outward diffusion. After layer grew until critical thickness, spinels,  $Cr_2O_3$  and  $CO_2CrO_4$  by outward diffusion of Co, Cr, Ni were formed. It was found that the formation of spinels may be related to the spallation of  $ZrO_2$ -7wt.% $Y_2O_3$  during isothermal oxidation.

### 1. 서 론

항공기, 선박, 자동차 및 발전용 엔진은 고성능화와 함께 에너지 절감을 위하여 부품 표면의 기능향상이 요구되고 있다. 항공기의 엔진이나 발전용 가스터빈 엔진의 고온 부품에 사용되는 Ni기 초내열 합금은 고온 내산화성 금속 및 세라믹으로 이루어진 2개 층의 열차폐코팅을 시킴으로써 엔진 성능 및 효율의 증가와 에너지 절감효과를 동시에 얻을 수 있다.<sup>1,2)</sup> 일반적으로 알려진 열차폐코팅층은 MCrAlY ( $M = Ni, NiCo$ )의 금속접합층과  $ZrO_2$ - (6~8wt.%)  $Y_2O_3$ 의 안정화지르코니아층으로 이루어져 있으며, 지금까지 연구된 결과에 의하면 실제 사용환경에서 가장 내구성이 우수

한 것으로 보고되고 있다.<sup>3~5)</sup> 열차폐코팅법에는 플라즈마 용사법과 전자빔 몰리 증착법의 두 가지 방법이 있다. 플라즈마 용사법은 코팅층의 형성속도가 크고, 코팅 재료의 조성을 임의로 조절할 수 있으며, 모재의 크기나 형상에 제약을 받지 않는다는 장점을 가지고 있다.<sup>6)</sup> 전자빔 몰리 증착법은 순도가 높은 치밀한 코팅막을 생성시킬 수 있으며, 코팅층과 기판의 결합력이 우수하고, 기판의 온도 조절이 넓은 온도 범위에 걸쳐서 가능하여 비정질과 같은 새로운 조직을 만들 수 있는 특징을 가지고 있다.<sup>7)</sup> 그러나 이러한 공정으로 만들어진 열차폐코팅층은 실제 작업 조건에서 여러 원인에 의해서 박리가 발생하게 된다. 박리 원인으로는 세라믹의 상변태, 금속과 세라믹 계면에서의 취성이 큰 스피

넬의 생성, 금속과 세라믹 열팽창 계수의 차이, 코팅층의 잔류응력 등이 있다.<sup>8,9)</sup> 실제로는 이상의 여러 원인들이 복합적으로 작용하여 박리가 일어나지만, 그 중에서 금속과 세라믹 계면에서의 산화막 생성거동에 대한 기존의 연구 결과들은 다음과 같이 정리할 수 있다. 금속접합층과 세라믹 코팅층의 계면에서 산화막층 생성은 세라믹에서 격자를 통한 산소이온의 전달과 미세 크랙을 통한 산소의 전달, 두 가지의 경로로 이루어진다.<sup>10~12)</sup> 산화 초기 단계에는 얇은 산화막층을 통한 산소이온의 확산이 매우 빠르며, 시간이 지난 후에 즉 산화막층의 두께가 증가함에 따라 산화막층을 통한 이온의 확산속도가 감소함으로써 산화속도는 감소한다.<sup>13)</sup> 세라믹/금속 계면에서 고온 산화막의 성장은 가스 터빈 부분의 고온부분에 대한 열차폐코팅층의 열 기계적 저항(thermomechanical resistance)에 기여한다. 산화물 결정립은 금속접합층/산화막층 계면에서 성장을 하며, 알루미나 결정립의 Zr의 존재는 지르코니아가 부분적인 화학분해를 하여 알루미나가 생성되는 것으로 밝혀져 있다.<sup>14)</sup> 금속접합층에서 원소들이 확산하여 세라믹/금속접합층 계면에서 산화막층이 형성되고 금속접합층에서 Al-rich상과  $\beta$ -NiAl상이 사라진 후, 세라믹/산화막 계면에서  $(\text{Al}, \text{Cr})_2\text{O}_3$ ,  $\text{Ni}(\text{Cr}, \text{Al})_2\text{O}_4$ ,  $\text{NiCr}_2\text{O}_4$  spinel이 생성될 때 코팅층은 박리가 시작된다.<sup>15~17)</sup> Al 결핍지역의 두께는 금속접합층에서 Al의 wt.%에 의존하며 Al의 양이 적을수록 넓어진다. 즉  $\beta$ -NiAl상이 소비되고 얇은  $\gamma/\gamma'$  지역이 남는다.<sup>18)</sup> 플라즈마 용사법에 의해 용사된 코팅층의 파괴는 지르코니아/금속접합층 계면에 가까운 지르코니아층에서 일어나며, 전자빔 물리증착법에 의해 코팅된 코팅층에서 파괴는 금속접합층과 세라믹층/금속접합층 계면에서 열에 의하여 성장한 산화막(thermally grown oxide) 사이의 계면에서 일어난다.<sup>19,20)</sup> 본 연구에서는 전자빔 코팅법과 플라즈마 용사법의 두 가지 공정으로 각각 코팅된 지르코니아층/금속접합층 계면에서 산화막층의 생성거동을 관찰하고 박리의 원인이 되는 스피넬의 생성원인을 분석하였다.

## 2. 실험 방법

본 연구에서 사용한 기판은 Ni기 초내열 합금(INCONEL 713C)을  $\phi 20\text{mm} \times 3\text{mm}$ 로 가공한 후에 아세톤으로 초음파 세척을 하였다. 준비된 기판을 샌드 블라스팅 법으로 표면의 조도를 높인 다음, 플라즈마 용사법으로 CoNiCrAlY 분말을 Ar 주입속도 54 l/min, H<sub>2</sub> 주입속도 6.8 l/min, 용사거리 120 mm, Gun의 이동속도 18 cm/s, 분말 용사속도 10 g/min의 조건으로 코팅을 하였다. 플라즈마 용사법으로 용사된 코팅표면에 전자빔으로 안정화지르코니아를 증착하기 위하여 코팅층의 표면을 0.25  $\mu\text{m}$  diamond paste까지 연마하여 표면 조도를 낮추었다. 연마한 시편을 아세톤으로 초음파 세척을 한 후에 진공 챔버 안에 설치하고 전자빔으로 진공 증착을 하였다. 증착조건은 기판과 Cu도가니 사이의 거리 250mm, 수직방향에 대한 각도 30°, 진공도  $1.62 \times 10^{-5}$  torr, 기판 예열온도 500°C, 전압 20kV, 전류 1.1A, 코팅시간 16min, 용융재는 ZrO<sub>2</sub>-7wt.

%Y<sub>2</sub>O<sub>3</sub> 조각이었다. 플라즈마 용사법으로 CoNiCrAlY 층을 코팅한 시편과 CoNiCrAlY 층위에 전자빔 물리증착법으로 ZrO<sub>2</sub>-7wt.%Y<sub>2</sub>O<sub>3</sub>를 코팅한 시편을 900°C에서 20hr, 100hr, 250hr, 500hr동안 대기 중에서 등온산화시험을 하였다. 용사된 CoNiCrAlY 층의 표면에서 생성된 산화막층은 에칭액 (150mLCH<sub>3</sub>COOH-100mL conc. HNO<sub>3</sub>-150mL 중류수)<sup>21)</sup>을 이용하여 에칭한 후 관찰할 수 있었다. 등온산화시험에 따른 안정화지르코니아/CoNiCrAlY 계면에서 생성된 산화막층의 두께 그리고 산화시간에 따른 코팅층 성분들의 확산 거동과 산화막층의 결정구조를 SEM(Scanning Electron Microscope), EPMA(Electron Probe Micro Analyser), AES(Auger Electron Spectroscopy) 및 XRD(X-ray Diffractometer)로 분석하였다.

## 3. 결과 및 고찰

### 3.1 안정화지르코니아층과 CoNiCrAlY 층의 조성

전자빔 코팅법에 의해서 코팅된 안정화지르코니아층과 용융재인 ZrO<sub>2</sub>-7wt.%Y<sub>2</sub>O<sub>3</sub>, 그리고 용사 코팅법으로 용사된 CoNiCrAlY 층과 원료분말의 조성을 EPMA로 분석하였다. 그림 1은 코팅직후 안정화지르코니아/CoNiCrAlY 계면의 사진으로써 각 코팅층의 EPMA 결과가 표 1과 표 2에 나타나있다. 표 1은 전자빔으로 코팅된 안정화지르코니아층의 Zr 및 Y의 성분 분석 결과로써, 코팅재와 코팅층의 조성을 비교하여 나타내었다. 표에서 보는 바와 같이 코팅재의 Zr 및 Y의 조성은 안정화지르코니아층의 Zr 및 Y의 조성과 유사한 것을 알 수 있다. 결과적으로 전자빔 코

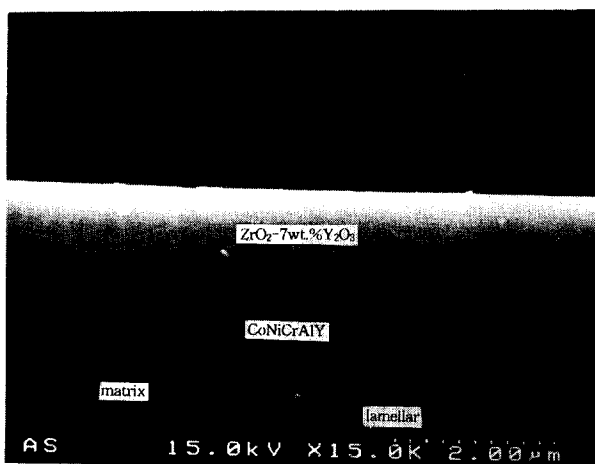


Fig. 1. SEM micrographs of the cross-section of thermal barrier coating layer after E-beam coating

Table 1. EPMA data of ZrO<sub>2</sub>-7wt.%Y<sub>2</sub>O<sub>3</sub> target materials and ZrO<sub>2</sub>-7wt.%Y<sub>2</sub>O<sub>3</sub> layer after E-beam coating.

	Weight(%)		Atomic(%)	
	Zr	Y	Zr	Y
Target material (ZrO <sub>2</sub> -7wt.%Y <sub>2</sub> O <sub>3</sub> )	93.2	6.8	93.0	7.0
Zirconia coating layer(I)	93.7	6.3	93.6	6.5
Zirconia coating layer(II)	93.5	6.5	93.4	6.6

Table 2. Element(%) of powder and EPMA data of CoNiCrAlY after plasma spray coating.

	Weight(%)				Atomic(%)			
	Co	Ni	Cr	Al	Co	Ni	Cr	Al
matrix	41.46	31.03	20.42	7.084	37.27	28.00	20.80	13.91
lamella phase	8.277	5.587	6.642	79.48	4.244	2.876	3.859	89.02

팅에 의해 원하는 조성의 코팅층을 얻을 수 있었다. 이것은 안정화지르코니아가 증발할 때 분해되는 양이 적고 분해된 이온들이 증착전에 재결합을 하므로 조성비를 만족하는 코팅층을 얻을 수 있다고 생각된다. 플라즈마 용사법에 의해 용사된 CoNiCrAlY 층과 원료분말 (wt.% : Co-32Ni-21Cr-8Al-0.5Y, at% : Co-28.6Ni-21.2Cr-15.6Al-0.3Y)의 조성은 표 2에 나타난 바와 같이 기지금속(matrix)과 조성차이가 크지 않았다. 하지만 기지금속안의 검은색 판상(lamella) 상에서는 Al의 편석을 파악할 수 있었으며, 이러한 Al의 편석은 용사 공정중 생성된 Al-rich상으로 사료된다.

### 3.2 안정화지르코니아/CoNiCrAlY 계면과 bare-CoNiCrAlY 표면에서 생성된 산화막층의 변화

그림 2는 등온산화시험 시간에 따라 계면에서 형성된 산화막층 두께가 변화하는 모습을 보여 주고 있다. 산화시험 시간에 관계없이 안정화지르코니아층은 일정한 두께를 유지하였으나, 안정화지르코니아/CoNiCrAlY 계면의 산화막층의 두께는 산화시간에 따라 증가하고 있다. 따라서 산화반응은 CoNiCrAlY 층 상부에서 발생하여 산화시간에 따라 CoNiCrAlY 층 방향으로 진행되고 있음을 알 수 있다. 500시

간에서 안정화지르코니아/산화막층 사이의 계면에서 크랙이 발생되었다. 그림 3은 그림 2와 같은 등온산화시험 조건에서 bare-CoNiCrAlY 층의 표면에서 생성된 산화막층의 변화를 나타낸 사진이다. bare-CoNiCrAlY 층의 표면에서 생성된 산화막층은 전체 등온 산화시험동안 안정화지르코니아/CoNiCrAlY 계면에서 생성된 산화막층 두께보다 크게 나타났으며 크랙은 발생하지 않았다. 그림 4는 산화시간에 따른 안정화지르코니아/CoNiCrAlY 계면에서 생성된 산화막층 두께 변화와 용사 코팅된 bare-CoNiCrAlY 표면에서 생성된 산화막층 두께변화간의 관계를 산화시간에 대해서 나타내고 있다. 산화시간에 따른 산화막층의 두께는 bare-CoNiCrAlY 층의 표면에 치밀한 안정화지르코니아층의 존재여부에 따라 다르게 나타났다. 즉, 산화막층의 두께차이는 산화막층이 생성될 때 안정화지르코니아/CoNiCrAlY 계면과 bare-CoNiCrAlY의 표면에서 산소분압의 차이에 기인하는 것으로 판단된다. 안정화지르코니아/CoNiCrAlY의 계면에서 생성된 산화막층의 두께는 산화시간에 따라 두께의 증가가 선형모양을 이루고 있음을 나타내고 있고, bare-CoNiCrAlY 층의 표면에서 생성된 산화막층의 두께증가 속도는 산화시간에 따라 감소함을 보여주고

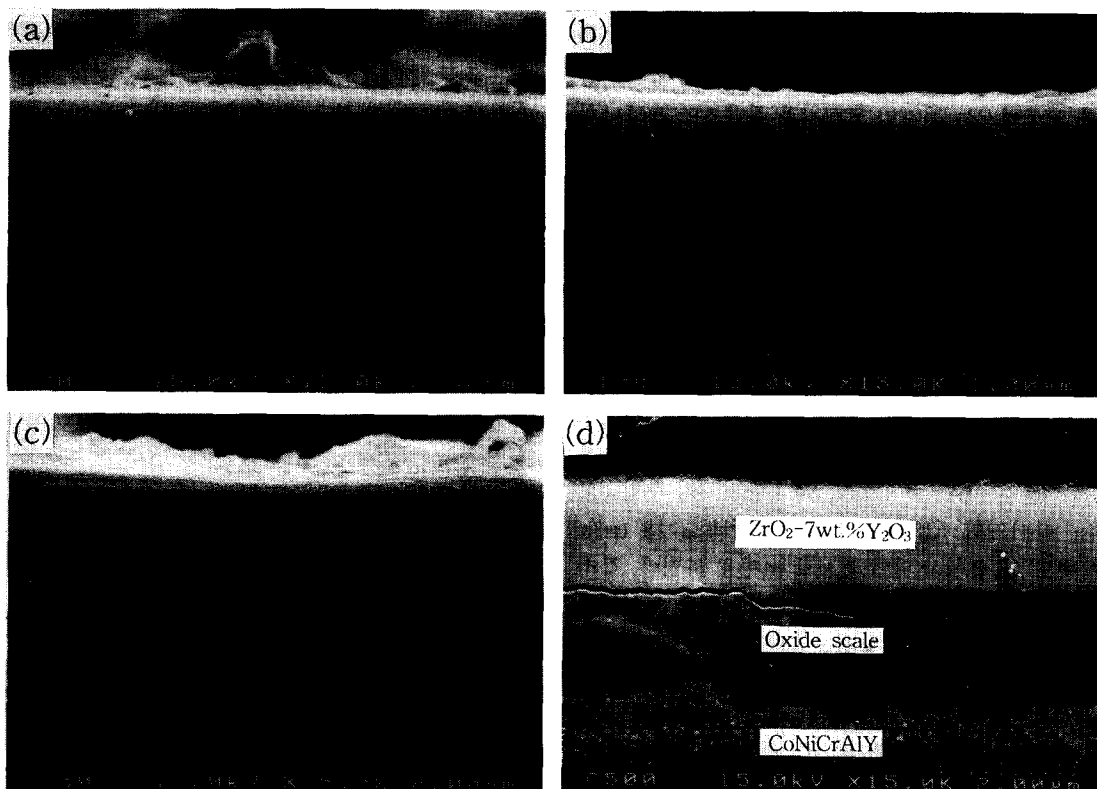


Fig. 2. SEM micrographs of the cross-section of thermal barrier coating layer after oxidation at 900°C in air for (a) 20hr (b) 100hr (c) 250hr and (d) 500hr.

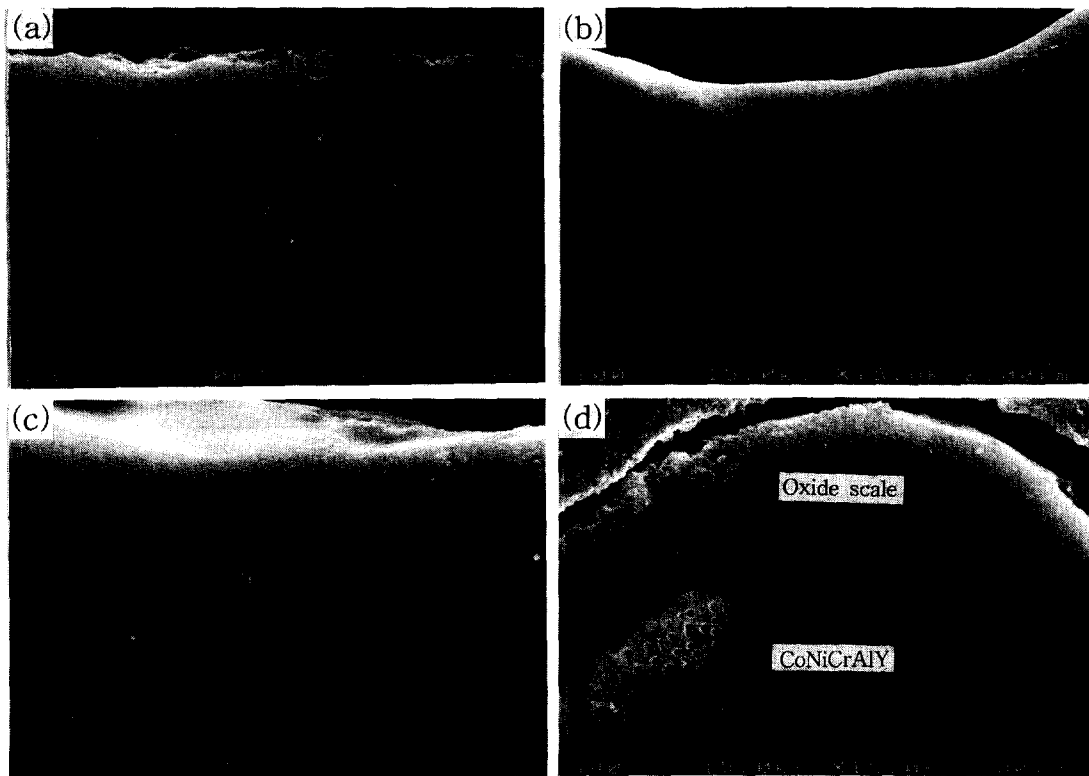


Fig. 3. SEM micrographs of the cross-section of bare-CoNiCrAlY coating layer after oxidation at 900°C in air for (a) 20hr (b) 100hr (c) 250hr and (d) 500h

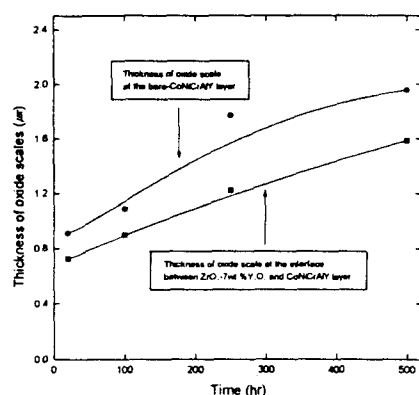


Fig. 4. Thickness of oxide scales of bare-CoNiCrAlY and interface between ceramic and bond coating layer.

있다.

### 3.3 안정화지르코니아/CoNiCrAlY 계면 산화와 bare-CoNiCrAlY 층의 표면산화에 의한 코팅층의 결정구조 변화

그림 5는 산화시험후 안정화지르코니아층 표면에 대한 X-선 분석 결과를 보여 주는 사진이다. X-선의 침투깊이를 고려할 때, 안정화지르코니아층의 두께가 2μm 이하이므로 CoNiCrAlY 층과 안정화지르코니아층의 상구조인 정방정계상, γ상, β상이 동시에 분포되었다. 안정화지르코니아층은 900°C에서 등온 산화에 의한 변화를 크게 보이지는 않았으나, 250시간을 산화시험한 시편의 경우 2θ값이 30° 근처에서 단사정계상의 피크를 보여 주고 있다. 500시간

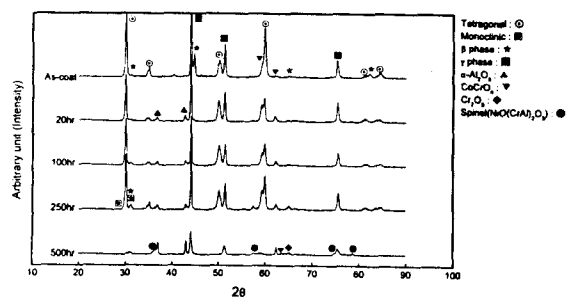


Fig. 5. Variation of XRD patterns of ZrO<sub>2</sub>-7wt.%Y<sub>2</sub>O<sub>3</sub> coating layer with oxidation time at 900°C

산화 시험한 경우에는 X-선 회절패턴이 급격히 변화가 되었다. 그 원인은 코팅층의 박리가 일어나 박리된 표면층에 취성이 큰 상인 NiO(CrAl)<sub>2</sub>O<sub>3</sub> 상이 안정화지르코니아층의 부피 분율보다 상당히 크게 형성되었을 것으로 판단된다. α-Al<sub>2</sub>O<sub>3</sub>상은 산화시간에 따라 성장을 계속하여 500시간에는 코팅층의 박리로 인해서 피크가 크게 나타났다. 그럼 6은 bare-CoNiCrAlY 층의 표면산화를 X-선에 의해 분석한 것이다. 코팅 직후에 γ상, β상과 약한 α-Al<sub>2</sub>O<sub>3</sub>피크가 보인다. 약한 α-Al<sub>2</sub>O<sub>3</sub>피크는 용사 공정중 생성된 상으로 코팅직후 얇은 판 모양의 상에 대한 EPM A의 결과와 일치함을 알 수 있다. 250시간까지 산화시간에서 α-Al<sub>2</sub>O<sub>3</sub>피크가 크게 증가하였으며, 250시간 이후는 일정하게 나타나고 있는데, 이는 250시간에서 α-Al<sub>2</sub>O<sub>3</sub>의 두께가 더 이상 변화하지 않음을 시사하고 있다. 100시간에서 취성이 큰 NiO(CrAl)<sub>2</sub>O<sub>3</sub>, CoCrO<sub>4</sub>, Cr<sub>2</sub>O<sub>3</sub>상이 나타났으며 250시간까지

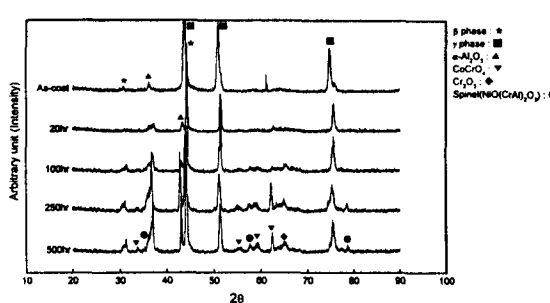
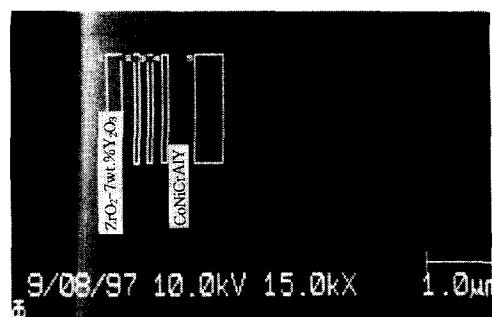


Fig. 6. Variation of XRD patterns of bare-CoNiCrAlY coating layer with oxidation time at 900°C

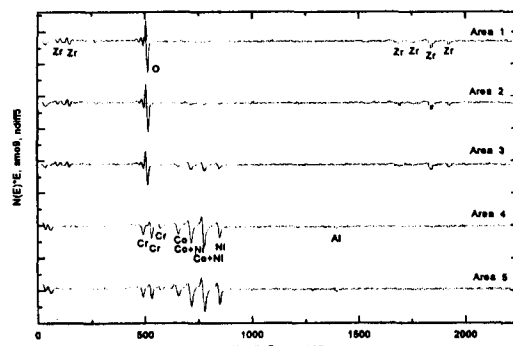
빠르게 성장을 하였다. 250시간 이후에 쥐성이 큰 NiO ( $\text{CrAl}$ )<sub>2</sub>O<sub>3</sub>, CoCrO<sub>4</sub>, Cr<sub>2</sub>O<sub>3</sub>상의 피크는 크게 변화하지 않았다.

### 3.4 안정화지르코니아/CoNiCrAlY 계면 산화에 의한 코팅층의 성분 변화

안정화지르코니아/CoNiCrAlY 계면 산화에 의한 성분 (Zr, O, Cr, Co, Ni, Al) 변화를 AES로 분석하였다. 그림 7은 코팅 직후 안정화지르코니아/CoNiCrAlY 계면의 단면 모양과 AES 분석결과이다. Zr, O, Co, Ni, Cr가 함께 존재하는 안정화지르코니아/CoNiCrAlY 계면의 Area 3를 중심으로 안정화지르코니아와 CoNiCrAlY의 경계가 명확

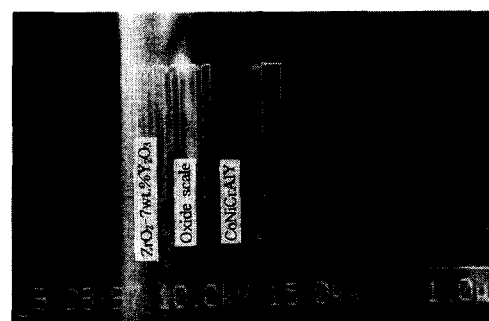


(a)

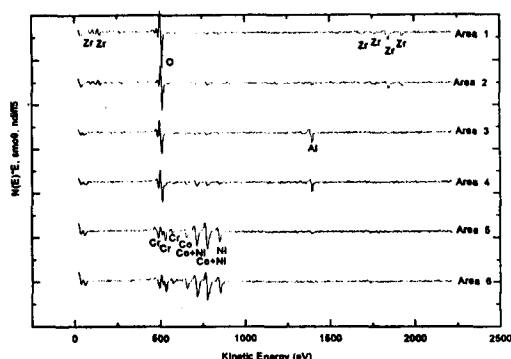


(b)

Fig. 7. (a) SEM micrographs and (b) AES results at respective positions around the cross-sectional area of as-coated  $\text{ZrO}_2$ -7wt.% $\text{Y}_2\text{O}_3$ /CoNiCrAlY.



(a)

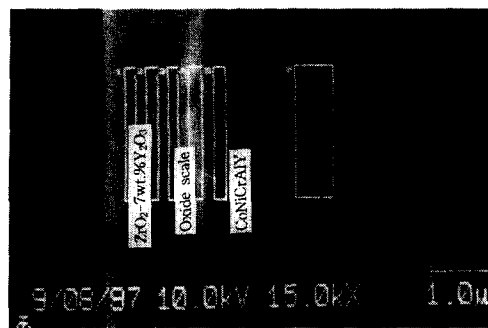


(b)

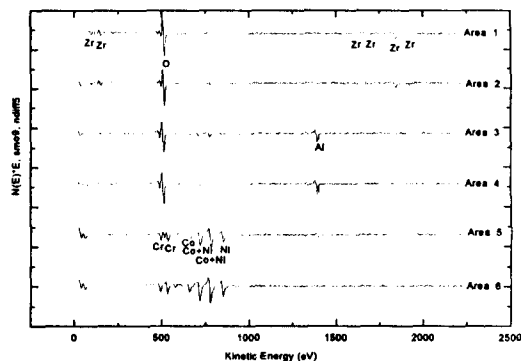
Fig. 8. (a) SEM micrographs and (b) AES results at respective positions around the cross-sectional area of  $\text{ZrO}_2$ -7wt.% $\text{Y}_2\text{O}_3$ /CoNiCrAlY after oxidation at 900°C for 20hr.

희 구별되고 있다. 그림 8은 20시간 산화시험 후 안정화지르코니아/CoNiCrAlY 계면의 단면 모양과 AES 분석결과를 보여주고 있다.  $\alpha$ -Al<sub>2</sub>O<sub>3</sub>가 존재하는 Area 3,4 지역과 Al 결핍지역인 Area 5,6 지역이 동시에 나타났으며 Co, Ni, Cr의 원소들이 Area 2까지 확산해 들어가고 있음을 볼 수 있다. 그림 9는 100시간 산화시험 후 안정화지르코니아/CoNiCrAlY 계면의 단면 모양과 AES 피크이다.  $\alpha$ -Al<sub>2</sub>O<sub>3</sub>층만 존재하는 Area 4를 중심으로 미량의 Co, Ni, Cr의 원소들이 Area 2,3에 존재하고 있다. 이로써 100시간 간에 순수한  $\alpha$ -Al<sub>2</sub>O<sub>3</sub>층이 생성이 되었고, 순수한  $\alpha$ -Al<sub>2</sub>O<sub>3</sub>층을 경계로 해서 표면 쪽에 Co, Cr, Ni 등의 원소들이 소량 분포가 되어있고 코팅층 내부에 Al 결핍지역이 넓어진 것을 알 수 있다.

그림 10은 250시간 산화시험 후 안정화지르코니아/CoNiCrAlY 계면의 단면 모양과 AES 피크이다.  $\alpha$ -Al<sub>2</sub>O<sub>3</sub>층이 Area 2,3,4,5로 확대가 되고 소량의 Co, Ni, Cr의 원소들이 Area 2,3에 분포가 되었다. 그림 11은 500시간 산화시험 후 안정화지르코니아/CoNiCrAlY 계면의 단면 모양과 AES 피크이다.  $\alpha$ -Al<sub>2</sub>O<sub>3</sub>이 Area 1,2,3,4에 넓게 분포되고 있으며 안정화지르코니아/산화막층 계면인 Area 2,3에 Co, Ni, Cr의 피크가 크게 나타나는 것으로 보아 스피넬을 이루는 원소들이 분포되고 있음을 알 수 있다. 이 경우에 표면근처까지 Co, Ni, Cr이 확산했고 Co, Ni, Cr



(a)



(b)

Fig. 9. (a) SEM micrographs and (b) AES results at respective positions around the cross-sectional area of  $\text{ZrO}_2$ -7wt.% $\text{Y}_2\text{O}_3$ /CoNiCrAlY after oxidation at  $900^\circ\text{C}$  for 100hr.

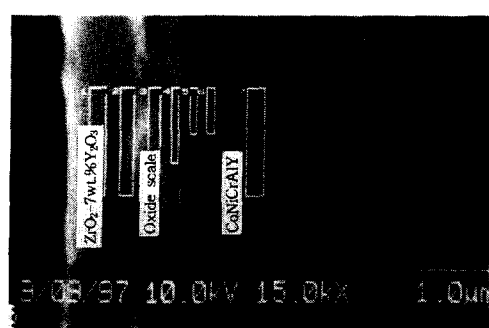
이 포함된  $\alpha$ - $\text{Al}_2\text{O}_3$ 층이 넓게 분포된 것으로 보아, 표면 근처까지  $\text{NiO}(\text{CrAl})_2\text{O}_3$ 상이 형성되어 부피 팽창에 의한 크랙의 형성을 예측할 수 있다. 결과적으로 계면에서 생성되는 산화물의 상대적 양과 종류는 산화반응의 시간, 온도, 산소분압 및 CoNiCrAlY층의 조성으로 결정되는 것으로 생각된다.

#### 4. 결 론

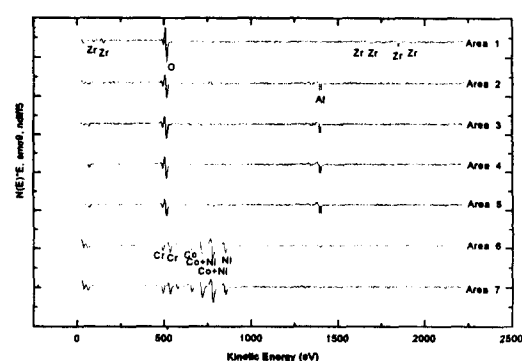
1) 전자빔에 의해 코팅된 안정화지르코니아층에서 Zr 및 Y의 조성과 용융재인  $\text{ZrO}_2$ -7wt.% $\text{Y}_2\text{O}_3$  조각에서 Zr 및 Y의 조성은 유사하게 나타났으며, 플라즈마 용사법에 의해 용사된 CoNiCrAlY층의 조성과 원료분말인 CoNiCrAlY분말의 조성도 유사하게 나타났다.

2) 등온산화시험동안 bare-CoNiCrAlY층의 표면에서 생성된 산화막층의 두께와 안정화지르코니아/CoNiCrAlY계면에서 생성된 산화막층 두께의 차이는 용사된 CoNiCrAlY층의 표면에 치밀한 지르코니아 막의 존재의 유무에 따라 차이가 나는 것으로 보아 등온산화시험동안 나타나는 산소분압의 차이에 기인한다고 사료된다.

3) 안정화지르코니아/CoNiCrAlY계면의 결정구조에서 250시간과 500시간 사이의 퍼크의 차이는 안정화지르코니아/산화막층 계면에서 스페넬 생성에 의한 막의 분리를 예측할 수 있는 것이며, bare-CoNiCrAlY의 표면에서 생성



(a)



(b)

Fig. 10. (a) SEM micrographs and (b) AES results at respective positions around the cross-sectional area of  $\text{ZrO}_2$ -7wt.% $\text{Y}_2\text{O}_3$ /CoNiCrAlY after oxidation at  $900^\circ\text{C}$  for 250hr.

된 산화막층의 결정구조에서 100시간에서 250시간 사이에서 스페넬이 형성됨을 보여 주고 있고 막의 분리는 일어나지 않았다.

4) 안정화지르코니아/CoNiCrAlY계면에서 코팅직후에 원소들의 고른 분포를 보이고 등온산화초기에 Al이 확산하여  $\alpha$ - $\text{Al}_2\text{O}_3$ 과 Al 결핍지역이 동시에 존재하는 영역이 나타났다. 등온산화가 진행됨에 따라 Co, Ni, Cr이 외부로 확산하여 안정화지르코니아/CoNiCrAlY계면에서 취성이 큰  $\text{NiO}(\text{CrAl})_2\text{O}_3$ ,  $\text{CoCrO}_4$ ,  $\text{Cr}_2\text{O}_3$ 의 산화물들이 형성되는 것이 관찰되었다.

#### 감사의 글

본 연구는 한국전력공사 전력연구원의 연구비와 1997년도 교육부 학술연구조성비(신소재 분야)의 지원에 의해 이루어진 것으로 연구되었으며 이에 감사를 드립니다.

#### 참 고 문 헌

- Kurt. H. Stern, Metallurgical and Ceramic Protective Coating, 223 (1996)
- F.Jamarani, R.W.Bertram, Surface and Coating Technology, 54/55, 58 (1992)
- J.R.BRANDON, R.Taylor, Surface and Coating Technology, 39/40, 143 (1989)

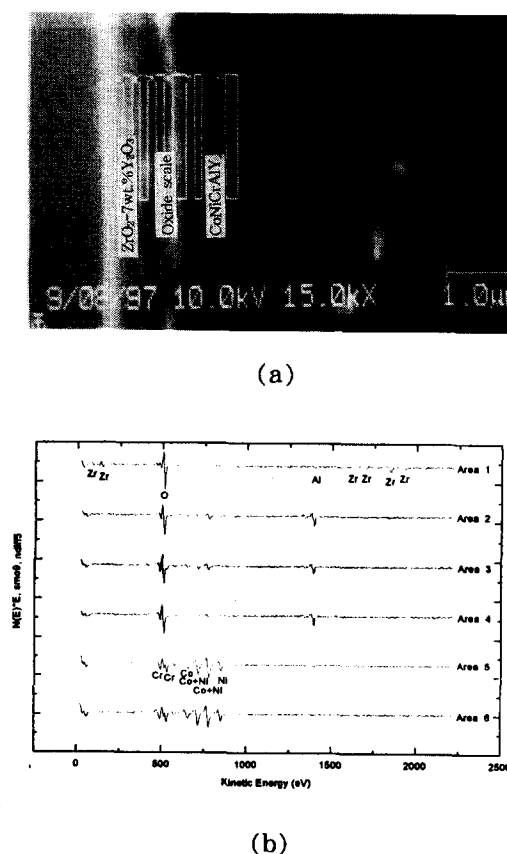


Fig. 11. (a) SEM micrographs and (b) AES results at respective positions around the cross-sectional area of ZrO<sub>2</sub>-7wt.%Y<sub>2</sub>O<sub>3</sub>-CoNiCrAlY after oxidation at 900°C for 500hr.

4. R.Taylor, J.R.Brandon, P.Morrell, Surface and Coating Technology, 5, 141 (1992)
5. K.L.Luthra and C.L.Briant, Oxidation of Metals, vol.26, no.5/6, 397 (1986)
6. Y. Pauleau, Materials and Processes for Surface and Interface Engineering, 245 (1995)

7. 최원섭, 전형탁, 김영도, 대한금속학회회보, vol.10, no. 1, 60 (1997)
8. S.L.Shinde, I.E.Reimanis, and L.C.Dejonghe, Adv. Ceram. Mater., 12, 6 (1987)
9. R.A.Miller and E.Lowell, Thin Solid Films, 95, 265 (1982)
10. B.C.Wu, E.Chang, Mater. Sci. and Eng., A111, 201 (1989)
11. A.Bennett, Mater. Sci. Technol., 2(3), 257 (1986)
12. T.E.Strangman, Thin Solid Films, 127, 93 (1985)
13. N.Birk and G.H.Meier, High Temperature Oxidation of Metals, Edward Arnold. London, 503 (1983)
14. L.Lelait, S.Alperine, R.Mevrel, Journal of Materials Science, 27, 5 (1992)
15. B.C.Wu, E.Chang, F.F.Chang, Journal of American Ceramic Society, 72, 212 (1989)
16. Y.H.Sohn, R.R.Biederman and R.D.Sisson,Jr., Journal of Materials Engineering and Performance, 3 (1), February, 55 (1994)
17. E.Y.Lee, R.R.Biederman, and R.D.Sisson, Jr., Mater Sci. Eng., A121, 467 (1989)
18. J.A. Haynes, E.D. Rigney, Mattison K., Surface and Coating Technology 86-87, 102 (1996)
19. E.Y.Lee, R.R.Biederman, and R.D.Sisson, Jr., Plasma Surf. Eng., 1, 365 (1989)
20. S.M. Meier, D.M. Nissley and K.D. Sheffler (1991) Thermal barrier coating life prediction model development. NASA Contractor Report 189111, NASA Lewis Research Center, Cleveland OH.
21. I. A. Kvernes and P. Kofstad, Metallurgical Transactions, 3, 1511 (1972)